

องค์ประกอบของฝุ่นละอองในอากาศบนถนนท่าลelog

อำเภอเมือง จังหวัดสงขลา

Composition of Aerosol Particles in the Air on Thala Laung Road

Muang District, Songkhla Province

วรรูดี ดวงศิริ^{1*}, สมบูรณ์ ประสังค์จันทร์¹, ณิชา ประสังค์จันทร์¹

Warawood Duangsiri^{1*}, Somboon Prasongchan¹, Nicha Prasongchan¹

¹ หลักสูตรรายวิชาวิทยาศาสตร์ สาขาวิชาทั่วไป คณะศิลปศาสตร์

มหาวิทยาลัยเทคโนโลยีราชมงคลรัตนโกสินทร์

1 ถนนราชดำเนินนอก ตำบลบ่ออย่าง อำเภอเมือง จังหวัดสงขลา 90000

¹ Science Program, Department of General Education, Faculty of Liberal

Arts, Rajamangala University of Technology Srivijaya, Songkhla, Thailand

*Corresponding author. Tel.: +668 9654 3050, E-mail: warawood.d@rmutsv.ac.th

บทคัดย่อ

การวิจัยนี้เป็นการศึกษาองค์ประกอบของฝุ่นละอองที่ลอยอยู่ในอากาศบนถนนท่าลelog อำเภอเมือง จังหวัดสงขลา โดยทำการเก็บตัวอย่างฝุ่นละอองในอากาศด้วยการกรองอากาศไอล์ฟผ่านกระดาษกรอง และทำการวิเคราะห์องค์ประกอบของฝุ่นละอองด้วยเทคนิคการทำแผนภาพการกระจายตัวของธาตุ (Elemental Mapping Analysis) ด้วยกล้องจุลทรรศน์อิเล็กตรอน (SEM) และวิเคราะห์องค์ประกอบของฝุ่นละอองด้วยเทคนิค Electron Microanalysis–Qualitative Analysis พบร่องรอยของฝุ่นละอองที่ตรวจจับได้มีขนาดน้อยกว่า 10 ไมโครเมตร PM10 และองค์ประกอบของฝุ่นละอองประกอบด้วยธาตุคาร์บอน (C) ออกซิเจน (O) โซเดียม (Na) แมกนีเซียม (Mg) อะลูมิเนียม (Al) ซิลิกอน (Si) ซัลเฟอร์ (S) คลอไรด์ (Cl) โพแทสเซียม (K) แคลเซียม (Ca) ติตานีียม (Ti) และเหล็ก (Fe) โดยปริมาณของฝุ่นละอองที่ตรวจจับได้มีค่าอยู่ระหว่าง 7.72-108.02 ไมโครกรัมต่อลูกบาศก์เมตร โดยมีค่าต่ำกว่าเกณฑ์มาตรฐานที่ระดับ 120 ไมโครกรัมต่อลูกบาศก์เมตร และไม่มีผลต่อสุขภาพ จากองค์ประกอบของฝุ่นละอองที่ตรวจพบนั้นส่วนหนึ่งมาจากฝุ่นละอองจากในทางเดินหายใจ ทางเดินหายใจ และการเผาไหม้ของเชื้อเพลิง ตลอดจนการเบรครถซึ่งทำให้เกิดฝุ่นเหล็กและแมงกานีสที่ปะปนอยู่ในอากาศได้ ดังนั้นการวิเคราะห์องค์ประกอบของฝุ่นละอองด้วยเทคนิคนี้สามารถระบุชนิดของธาตุได้

คำสำคัญ: ฝุ่นละอองในอากาศ PM10 องค์ประกอบธาตุ

Received 27-08-2018
Revised 07-11-2018
Accepted 12-11-2018

Abstract

This study was investigated the composition of aerosol dust particles on Thala Laung Road, Muang District, Songkhla province by collecting dust samples in the air by filtering air through the filter paper and analyzing dust particles by using the Elemental Mapping Analysis with Electron Microscope (SEM) and Electron Particle Analysis Microanalysis-Qualitative Analysis. The results revealed that the size of the particulate matter detected was PM10 and the elements of particle composition were consisted of Carbon (C), Oxygen (O), Sodium (Na), Magnesium (Mg), Aluminum (Al), Silicon Sulfur (S), Chloride (Cl), Potassium (K), Calcium (Ca), Titration (Ti) and Iron (Fe). The amount of collected dust was at 7.72-108.02 microgram per cubic meter ($\mu\text{g}/\text{m}^3$). It was lower than the standard level of 120 micrograms per cubic meter ($\mu\text{g}/\text{m}^3$), and it did not affect the health. From the constituent particulate matter, the particulate matter is derived from the seawater dust, transport and combustion including the vehicles' brakes directly caused the aerosol dust with iron and magnesium. Therefore, the analysis of dust particles with this technique can be determined the type of elements.

Keywords: Aerosol dust particles, PM10, Elements of particle

1. บทนำ

สภาวะสิ่งแวดล้อมในปัจจุบันได้มีการเปลี่ยนแปลงไปจากอดีตเป็นอย่างมาก เนื่องจากการพัฒนาประเทศให้ก้าวสู่โลกของเศรษฐกิจเสรีนิยมที่มุ่งเน้นอุตสาหกรรมและเทคโนโลยีซึ่งส่งผลต่อสิ่งแวดล้อมอย่างหลีกเลี่ยงไม่ได้ โดยเฉพาะมลพิษทางอากาศ ประเภทฝุ่นละอองขนาดเล็กที่ประปนอยู่ในอากาศซึ่งมีผลต่อสุขภาพโดยตรง สำหรับประเทศไทยที่พัฒนาแล้ว ผลกระทบของมลพิษทางอากาศต่อสุขภาพได้รับการศึกษาอย่างต่อเนื่อง และรายงานตลอดจนมีข้อเสนอแนะอย่างเป็นรูปธรรม และสามารถปฏิบัติได้เพื่อประเมินความสัมพันธ์ระหว่างมลพิษทางอากาศของฝุ่นละอองขนาดเล็ก (PM10) ที่มีผลเสียต่อสุขภาพของมนุษย์ในประเทศไทยนั้น พบร่วมกับเมืองใหญ่ที่กำลังเจริญเติบโตทางด้านเศรษฐกิจและสังคมนั้นจะมีปัญหาเรื่องมลพิษของอากาศ และสภาพแวดล้อมซึ่งมีผลกระทบทั้งด้านของสุขภาพจิตและสุขภาพกาย

โดยเฉพาะอย่างยิ่ง ผลกระทบจากฝุ่นละอองที่ล่องลอยปะปนอยู่กับอากาศทั้งส่วนที่มองเห็นและมองไม่เห็น ซึ่งอาจสูดดมเข้าไปในร่างกายโดยไม่รู้ตัว และหากมีการหายใจเข้าไปเป็นระยะเวลานานจะทำให้เกิดโรคเกี่ยวกับระบบทางเดินหายใจ ปัญหาเหล่านี้เกิดจากมลพิษในอากาศโดยฝุ่นละอองเป็นอนุภาคแขวนลอยที่เป็นมลพิษทางอากาศที่มีผลต่อสุขภาพของคน [1,2] โดยเฉพาะชุมชนเมืองที่มีจะมลพิษทางอากาศในปริมาณที่สูง [3] และฝุ่นละอองขนาดเล็กที่เกิดจากหมอกควันในเมืองจะทำให้ความเข้มข้นของอนุภาค หรือฝุ่นละอองมีปริมาณเพิ่มขึ้นในสภาพอากาศที่มีทัศนวิสัยที่ไม่ดี สำหรับประเทศไทยได้มีรายงานเกี่ยวกับสมรรถภาพปอดของตัวร่วจราจรร้อยละ 29.29 มีความผิดปกติของปอด [4] ซึ่งเป็นผลมาจากการเผาไหม้ของเชื้อเพลิง [5] ฝุ่นหยาบที่อาจเกิดจากยานพาหนะ [6] โดยเฉพาะการจราจรที่คับคั่งหนาแน่นซึ่งอาจเป็นแหล่งกำเนิดฝุ่นละออง

เนื่องจากการสัญจร [7,8,9,10] และปริมาณฝุ่นละอองจากโลหะที่ปะปนอยู่ในอากาศปริมาณสูงนั้น มีผลกระทบต่อสุขภาพ [7,11] โดยเฉพาะโลหะที่เป็นพิษที่เกิดจากฝุ่นบนผิวน้ำ [12] เช่น สารหนู (As) นิกเกล (Ni) ตะกั่ว (Pb) และสังกะสี (Zn) งานวิจัยครั้งนี้มีความสนใจต่อปริมาณของฝุ่นละอองในอากาศบนถนนทางหลวง ตำบลบ่ออย่าง อำเภอเมือง จังหวัดสงขลา เนื่องจากเป็นถนนที่หนาแน่นด้วยการจราจรและผู้คนใช้จ่ายในตลาดตอนเย็นโดยคาดว่าอาจมีฝุ่นละอองขนาดเล็กที่มีผลต่อสุขภาพของคนที่ใช้ชีวิตในประจำวันแต่ละวัน

2.วิธีดำเนินการวิจัย

2.1 เครื่องดักจับฝุ่นละออง

งานวิจัยนี้ได้ออกแบบเครื่องดักจับฝุ่นละอองให้มีระบบการทำงานที่ไม่ слับซับซ้อน และสามารถที่จะนำไปใช้ในการดักจับฝุ่นละอองในอากาศ โดยใช้หลักการการไฟล์ผ่านของอากาศผ่านห้อง และกระดาษกรองซึ่งมีส่วนสำคัญสามส่วนด้วยกัน (ภาพที่ 1) ส่วนแรก คือส่วนดักจับฝุ่นละอองในอากาศโดยใช้หลักการการไฟล์ผ่านของอากาศโดยมีส่วนสำคัญได้แก่ ชุดเก็บตัวอย่างอากาศมีลักษณะทรงกระบอก เส้นผ่านศูนย์กลาง 7.50 ± 0.05 เซนติเมตร สูง 15.00 ± 0.05 เซนติเมตร รอบทรงกระบอกเจาะช่องเพื่อให้อากาศไหลผ่านขนาดเส้นผ่านศูนย์กลาง 0.30 ± 0.05 เซนติเมตร ภายในมีฐานรองสำหรับกระดาษกรองไว้แก้วเส้นผ่านศูนย์กลาง 7.40 ± 0.05 เซนติเมตร เจาะช่องอากาศให้ผ่านตามแนวรัศมี

ขนาดเส้นผ่านศูนย์กลาง 0.50 ± 0.05 เซนติเมตร ทำหน้าที่สำหรับวางแผ่นกระดาษกรอง เพื่อกรองฝุ่นละอองที่ไหลผ่านมาพร้อมกับอากาศ ส่วนที่สองระบบดูดอากาศประกอบด้วย เครื่องดูดอากาศและท่อดูดอากาศ ส่วนนี้ทำหน้าที่ดูดอากาศเข้าสู่ส่วนแรกเพื่อดักจับฝุ่นละอองที่ปะปนมากับอากาศ ส่วนที่สามคือส่วนควบคุมการทำงานของเครื่อง ประกอบด้วยระบบควบคุมการทำงานและจ่ายกระแสไฟฟ้าให้กับเครื่องทั้งหมด

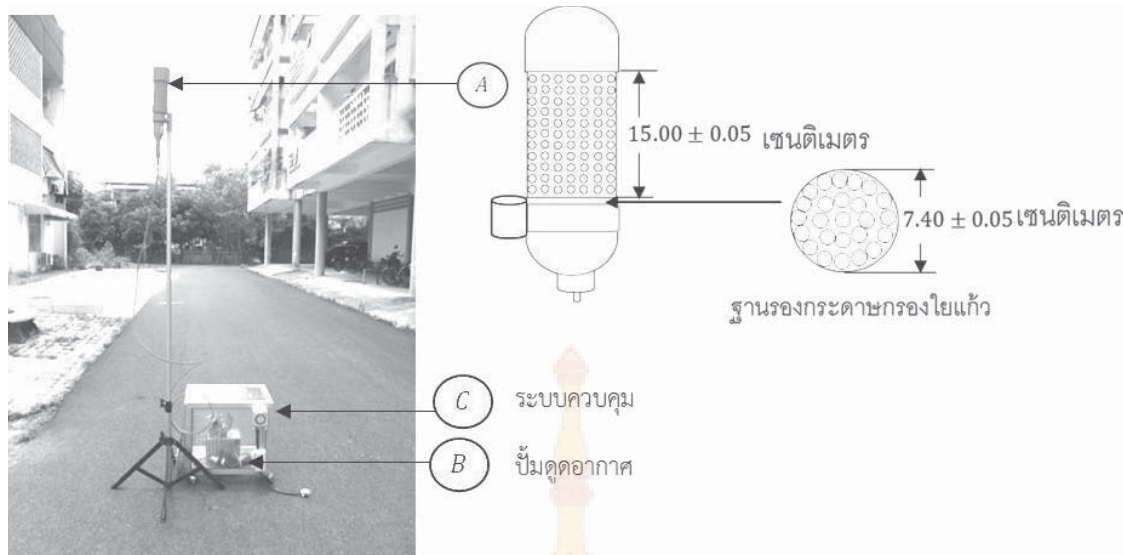
2.2 การเตรียมและการเก็บตัวอย่างฝุ่นละอองในอากาศ

2.2.1 การเตรียมกระดาษกรองไว้แก้ว

การเก็บฝุ่นละอองในอากาศโดยใช้หลักการการไฟล์ผ่านของอากาศผ่านกระดาษกรองไว้แก้ว วงกลมเส้นผ่านศูนย์กลาง 7.40 ± 0.05 เซนติเมตร ก่อนนำไปใช้ในการเก็บตัวอย่างจะนำกระดาษกรองมาไล่ความชื้นในตู้ควบคุมอุณหภูมิที่ 25 องศาเซลเซียส เป็นเวลา 3 ชั่วโมง และนำกระดาษที่ผ่านการอบไล่ความชื้นมาเก็บไว้ในโดดดความชื้นเป็นเวลา 24 ชั่วโมง ที่อุณหภูมิ 25 องศาเซลเซียส [13] และก่อนนำกระดาษกรองไว้แก้วไปใช้ในการเก็บตัวอย่างฝุ่นละอองในอากาศให้ชั่งน้ำหนักของกระดาษกรองเพื่อหาค่าน้ำหนักของกระดาษกรองก่อนเก็บตัวอย่าง (pre-weight, W_i)

2.2.2 การเก็บตัวอย่าง

การดำเนินเก็บตัวอย่างเครื่องเก็บตัวอย่างที่สร้างประดิษฐ์ขึ้นซึ่งมีส่วนประกอบสามส่วน ดังแสดงในภาพที่ 1



ภาพที่ 1 เครื่องเก็บตัวอย่างฝุ่นละอองอย่างง่าย ประกอบด้วย 3 ส่วน A ส่วนดักจับฝุ่นละอองในอากาศ B ระบบดูดอากาศ และ C ระบบควบคุม

โดยทำการติดตั้งตามจุดเก็บตัวอย่างถนน ทະเลหลวง อำเภอเมือง จังหวัดสงขลา บริเวณตลาดชาวชรา ตั้งแต่เวลา 16.00 น. ถึงเวลา 16.00 น. ของวันถัดไป ซึ่งบริเวณถนนทະเลหลวงมีการจราจรหนาแน่นคับคั่ง โดยเฉพาะเวลาหลัง 16.00 น. เป็นต้นไป เนื่องจากถนนสายนี้เป็นตลาดตอนเย็น และคาดว่ามีปริมาณฝุ่นละอองขนาดเล็กอาจมีผลกระทบต่อสุขภาพของคนที่ใช้ถนนเส้นนี้ในการสัญจรหรือจับจ่ายสินค้า โดยทำการติดตั้งเครื่องเก็บตัวอย่าง ดังภาพที่ 2 โดยวางให้ส่วนเก็บตัวอย่างอยู่ในที่โล่งอยู่สูงจากระดับพื้น 150 เซนติเมตร ซึ่งเป็นระดับที่เรายายใจเอ้าอากาศเข้าสู่ร่างกาย เมื่อเทียบกับระดับความสูงโดยของคนทั่วไปมีความสูงเฉลี่ยเท่ากับ 160 เซนติเมตร และส่วนเก็บตัวอย่าง จะวางกระดาษกรองไยแก้วบนตะแกรง สำหรับวางกระดาษกรอง โดยจัดวางกระดาษกรองให้อยู่ในระนาบที่นานกับพื้น และอยู่ในสภาพสมดุล ตรวจสอบจุดเชื่อมต่อ เพื่อป้องกันการรั่วไหลของอากาศระหว่างรอยต่อของท่อดูดอากาศและดูดอากาศด้วยอัตราการไหลของอากาศ 1.5 ลูกบาศก์เมตรต่อชั่วโมง ทำการเก็บตัวอย่างเป็นเวลา 24 ชั่วโมง

สำหรับการเก็บตัวอย่างในงานวิจัยครั้งนี้ได้ทำการเก็บตัวอย่าง 5 จุด (Station, ST) บนถนนทະเลหลวง โดยเลือกจุดการเก็บตัวอย่างที่ไม่มีสิ่งกีดขวางและไม่ขวางการใช้พื้นที่ของคนในชุมชนและการสัญจรของยานพาหนะ



ภาพที่ 2 การติดตั้งอุปกรณ์เครื่องเก็บฝุ่นละออง ณ ถนนทະเลหลวง อำเภอเมือง จังหวัดสงขลา

2.2.3 การหาปริมาณฝุ่นละอองบนกระดาษกรอง

การหาปริมาณฝุ่นละอองที่เก็บได้จากจุดเก็บตัวอย่างที่ดักจับได้บนกระดาษกรอง นำมาไล่ความชื้นในโคลูดความชื้นในสภาวะควบคุมอุณหภูมิ 25 องศาเซลเซียส เป็นเวลา 24 ชั่วโมง [13] จากนั้นนำกระดาษกรองไปซึ่งน้ำหนัก (post-weight, W_f) จากนั้นนำไปคำนวณหาปริมาตรอากาศและปริมาณฝุ่นละอองจากการ (1) [13]

$$\text{ปริมาณฝุ่นละออง} = \frac{W_f - W_i}{V} \quad (1)$$

เมื่อ

W_i คือ น้ำหนักของกระดาษกรองก่อนเก็บตัวอย่าง (กรัม)

W_f คือ น้ำหนักของกระดาษกรองหลังเก็บตัวอย่างหลังผ่านการอบแห้ง (กรัม)

V คือ ปริมาตรอากาศ (ลูกบาศก์เมตร)
ซึ่งหาได้จากการที่ (2)

$$V = Qt \quad (2)$$

โดยที่

Q คือ อัตราการไหลของอากาศ (ลูกบาศก์เมตรต่อนาที)

t คือ เวลาที่ใช้ในการเก็บตัวอย่าง (ชั่วโมง)

2.2.4 การวิเคราะห์ตัวอย่างฝุ่นละอองในอากาศ

การวิเคราะห์องค์ประกอบของตัวอย่างฝุ่นละอองที่เก็บได้จากการดักจับด้วยกล้องจุลทรรศน์อิเล็กตรอนแบบส่องร้าด (SEM; Scanning Electron Microscope, JSM-5800LV, JEOL, Japan attached with Energy Dispersive X-ray Spectrometer, ISIS300, Oxford, England) ด้วยเทคนิคการทำแผนที่แสดงการกระจายตัวขององค์ประกอบของธาตุ (Electron Microanalysis–Elemental Mapping Analysis, EMA) ด้วยวิธีการทดสอบ อ้างอิงตามวิธีการปฏิบัติงาน

เลขที่ WI-RES-SEM-5800-001, WI-RES-SEM-001 และ WI-RES-EDX-001 ศูนย์เครื่องมือวิทยาศาสตร์มหาวิทยาลัยสงขลานครินทร์

3. ผลและวิจารณ์ผล

3.1 ผลการเก็บตัวอย่างฝุ่นละอองในอากาศ

งานวิจัยครั้งนี้ทำการเก็บตัวอย่างฝุ่นละอองในอากาศบนถนนทะเลหลวง อำเภอเมือง จังหวัดสงขลา ในระหว่างเดือน กรกฎาคม–พฤษจิกายน พ.ศ. 2555 โดยทำการเก็บตัวอย่างทั้งหมด 5 จุด โดยกำหนดจุดเก็บตัวอย่างคือ ST-1 ST-2 ST-3 ST-4 และ ST-5 ดังภาพที่ 3



ภาพที่ 3 ตำแหน่งเก็บตัวอย่างฝุ่นละออง บนถนนทะเลหลวง อำเภอเมือง จังหวัดสงขลา (ST-1 – ST-5)

จากภาพที่ 4 ก ภาพถ่ายของกระดาษกรองก่อนเก็บตัวอย่างมีลักษณะเรียบและเมื่อถ่ายภาพด้วย SEM ที่กำลังขยาย 2000 เท่าจะเห็นเป็นเส้นใยแก้วพันช้อนทับกันไปมาและมีรูพรุนขนาดน้อยกว่า 10 ไมโครเมตร (ภาพที่ 4 ข) และจากการเก็บตัวอย่างฝุ่นละอองในอากาศทั้ง 5 จุดเก็บและนำไปตรวจขนาดของฝุ่นละอองด้วย SEM ที่กำลังขยาย 2000 เท่า และ 15000 เท่าพบว่าขนาดของฝุ่นละอองในอากาศ ที่เก็บได้บนกระดาษกรองมีขนาดเล็ก (ภาพที่ 4 ค และ ง) โดยขนาด

ของผู้นับละองที่เก็บได้มีขนาดน้ำอยกว่า 10 ไมโครเมตร ซึ่งผู้นับละองขนาดเล็กนี้ จะลอยอยู่ในอากาศจะเห็นได้ว่า ความเร็วลมเฉลี่ยระหว่างเดือนกรกฎาคม-พฤษจิกายน 2555 อยู่ระหว่าง 17.03-21.11 กิโลเมตรต่อชั่วโมง (ตารางที่ 1) ซึ่งเป็นความเร็วลมที่ต่ำและมีอิทธิพลต่อผู้นับละองให้สามารถลอยตัวอยู่ในอากาศได้นอกจากลมธรรมชาติ แล้วลมจากการวิงของรถยนต์มีผลเช่นกัน นอกจากนี้แล้ว ปริมาณฝุ่นในช่วงเดือนกรกฎาคม-พฤษจิกายน 2555 ปริมาณฝุ่นมีปริมาณน้อย คืออยู่ระหว่าง 0.1 ถึง 10.0 มิลลิเมตร (ตารางที่ 1) ซึ่งไม่สามารถซักล้างผู้นับละองขนาดเล็กตากสู่ผิวนนหรือพื้นได้จึงทำให้ผู้นับละองขนาดเล็กลอยปนอยู่ในอากาศ และตรวจพบ ผู้นับละองขนาดเล็กดังตารางที่ 2 ซึ่งพบว่าจุดที่หนึ่ง (ST-1) มีปริมาณผู้นับละองต่ำสุดในเดือนพฤษจิกายน มีปริมาณ 12.86 ไมโครกรัมต่อลูกบาศก์เมตร และมีปริมาณสูงสุด 41.15 ไมโครกรัมต่อลูกบาศก์เมตรในเดือนตุลาคมในจุดที่สอง (ST-2) พบร่วมกับปริมาณผู้นับละอง

ต่ำสุดในเดือนตุลาคม และสูงสุดในเดือนพฤษจิกายน มีปริมาณผู้นับละอง 18.0 และ 41.15 ไมโครกรัมต่อลูกบาศก์เมตร ตามลำดับในขณะที่จุดเก็บที่สาม (ST-3) มีค่าต่ำสุดและสูงสุดเท่ากับ 36.01 และ 105.45 ไมโครกรัมต่อลูกบาศก์เมตร ในเดือนพฤษจิกายนและเดือนสิงหาคมตามลำดับ สำหรับจุดเก็บที่สี่ (ST-4) มีปริมาณผู้นับสูงสุดเท่ากับ 108.02 ไมโครกรัมต่อลูกบาศก์เมตรในเดือนพฤษจิกายน และต่ำสุดในเดือนตุลาคมมีค่าเท่ากับ 7.72 ไมโครกรัมต่อลูกบาศก์เมตร และจุดเก็บตัวอย่างจุดสุดท้ายจุดเก็บที่ห้า (ST-5) พบร่วมกับปริมาณผู้นับละองที่เก็บได้มีปริมาณสูงสุดเท่ากับ 100.31 ไมโครกรัมต่อลูกบาศก์เมตรในเดือนกรกฎาคม และต่ำสุดในเดือนตุลาคมเท่ากับ 82.30 ไมโครกรัมต่อลูกบาศก์เมตร จะเห็นได้ว่า ปริมาณผู้นับละองที่เก็บได้มีค่าไม่เกิน 120 ไมโครกรัมต่อลูกบาศก์เมตร ภายใน 24 ชั่วโมง ซึ่งต่ำกว่าค่ามาตรฐานที่ไม่เป็นอันตรายต่อสุขภาพอนามัย

ตารางที่ 1 สภาวะสิ่งแวดล้อมประกอบด้วยอุณหภูมิเฉลี่ย ปริมาณน้ำฝนและความเร็วลม ระหว่างเดือนกรกฎาคม – พฤษจิกายน 2555 (ข้อมูลจาก กรมควบคุมมลพิษ กระทรวงทรัพยากรธรรมชาติและสิ่งแวดล้อม)

เดือน (พ.ศ.2555)	อุณหภูมิเฉลี่ย (องศาเซลเซียส)	ปริมาณน้ำฝน (มิลลิเมตร)	ความเร็วลม (กิโลเมตรต่อชั่วโมง))
กรกฎาคม	28.30	0.88	21.11
สิงหาคม	28.84	0	19.63
กันยายน	27.66	0.18	21.11
ตุลาคม	27.84	2.22	19.63
พฤษจิกายน	27.5	7.64	17.03

3.2 ผลการวิเคราะห์องค์ประกอบของผู้นับลงในอากาศ

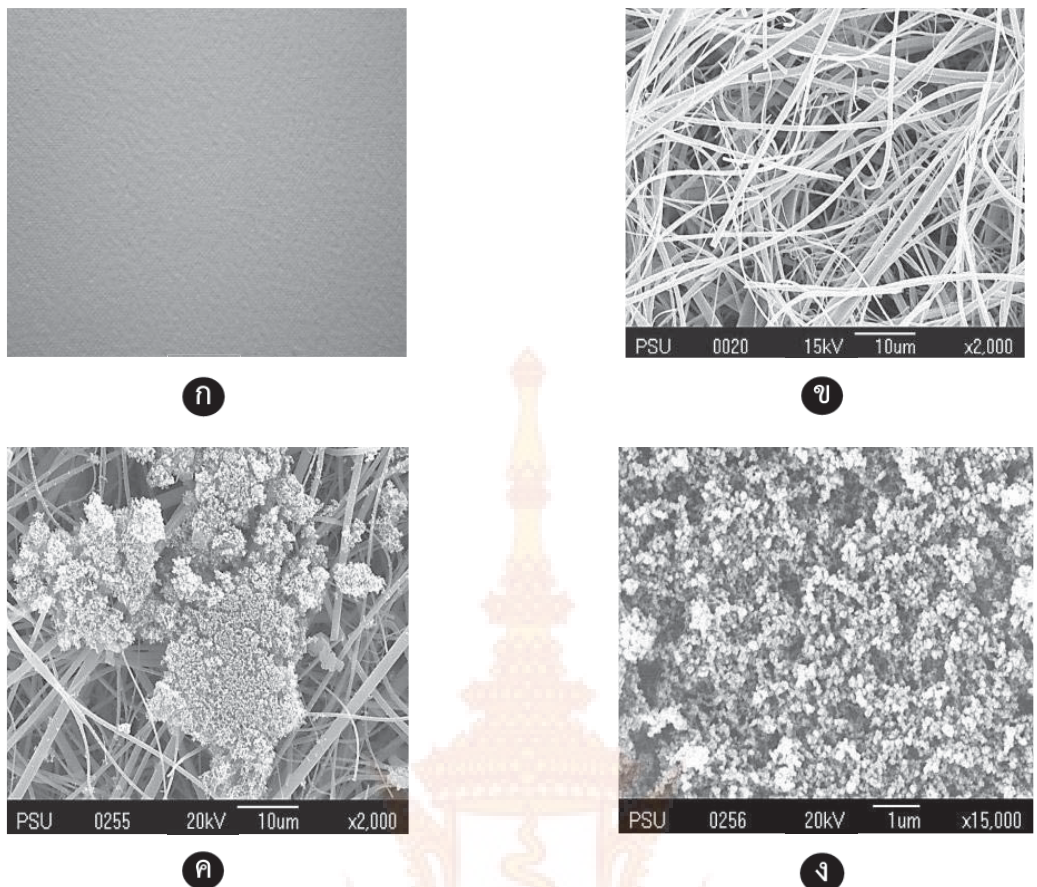
การวิเคราะห์องค์ประกอบของตัวอย่างผู้นับลงในอากาศที่เก็บได้จากการกรองด้วย SEM และวิเคราะห์องค์ประกอบของธาตุด้วยการทำแผนภาพการกระจายตัวของธาตุด้วยการวัดพลังงาน การกระเจิงของรังสีเอกซ์ของตัวอย่างผู้นับลงในอากาศของบันกระดาษกรอง yayแก้วที่ตักจับได้ทั้ง 5 จุด จำนวน 25 ตัวอย่างระหว่างเดือนกรกฎาคม–พฤษจิกายน 2555 ดังตารางที่ 2

เมื่อนำตัวอย่างผู้นับลงในอากาศที่มาวิเคราะห์การกระจายตัวของธาตุด้วยเทคนิค EMA จะระบุการกระจายตัวของธาตุในผู้นับลงด้วยแถบสี (color bar) บ่งบอกถึงประมาณความเข้มข้นของธาตุที่กระจายตัวໄลร์ะดับตั้งแต่ความเข้มข้นน้อยร้อยละ 0 (สีดำ) ไปจนถึงความเข้มข้นมากร้อยละ 100 (สีขาว) ในแต่ละจุดของการเก็บตัวอย่าง พบร่วตัวอย่างผู้นับลงที่เก็บได้มีธาตุกระจายตัวแตกต่างกันออกใบซึ่งขึ้นอยู่กับองค์ประกอบของธาตุที่สามารถตักจับได้ในแต่ละตัวอย่างซึ่งในการวิเคราะห์ด้วยเทคนิค EMA จะทำการวิเคราะห์ในขอบเขตที่จำกัดซึ่งเป็นขอบเขตที่สนใจโดยเฉพาะบริเวณที่มีกลุ่มของผู้นับลงที่เก็บได้บนกระดาษกรองซึ่งแผนภาพการกระจายของธาตุสามารถบอกถึงธาตุที่พบในผู้นับลง จากการวิเคราะห์การกระจายตัวของธาตุในตัวอย่างด้วยการวัดพลังงานกระเจิงของรังสีเอกซ์ โดยพบราตุที่เป็นองค์ประกอบของผู้นับลงตารางที่ 3 และแผนภาพการกระจายตัวของธาตุในผู้นับลงแสดงดังภาพที่ 5-9

ในจุดเก็บตัวอย่าง ST-1 สเปกตรัมของธาตุที่พบดังแสดงในภาพที่ 5 ก และการกระจายตัวของ

ธาตุต่างๆ (ภาพที่ 5 ข) ประกอบด้วยธาตุดังต่อไปนี้ ออกซิเจน (ภาพที่ 5 ข a) มีความเข้มน้อย และมีพิ Ying บางจุดมีความเข้มสูง (มากกว่าร้อยละ 70) ซึ่งแสดงให้เห็นว่าออกซิเจนเป็นธาตุที่พบในผู้นับลงที่เก็บได้ไซเดียม (ภาพที่ 5 ข b) เป็นธาตุที่พบลดมาจากออกซิเจนและมีความเข้มสูงเป็นบางจุดเช่นกัน

ซึ่งบ่งบอกว่ามีไซเดียมเป็นองค์ประกอบในทำนองเดียวกัน แมgnieiyim (ภาพที่ 5 ข c) อะลูมิเนียม (ภาพที่ 5 ข d) ซัลเฟอร์ (ภาพที่ 5 ข f) คลอร์ไรด์ (ภาพที่ 5 ข g) โพแทสเซียม (ภาพที่ 5 ข h) แคลเซียม (ภาพที่ 5 ข i) และเหล็ก (ภาพที่ 5 ข j) โดยเฉพาะแคลเซียม โพแทสเซียม และแมgnieiyim จะเห็นได้ชัดว่า ผู้นับลงที่เก็บได้จากจุดนี้เป็นองค์ประกอบหลักและธาตุอื่น ๆ รองลงมายากเว้นซิลิกอน (ภาพที่ 5 ข e) ซึ่งบริเวณกลุ่มของผู้นับลงที่วิเคราะห์จะมีปริมาณที่น้อยเมื่อเทียบกับบริเวณอื่นซึ่งเป็นพื้นผิวกระดาษกรองจุดเก็บตัวอย่าง ST-2 องค์ประกอบของผู้นับลงที่เก็บได้ดังแสดงในภาพที่ 6 ก และ ข พบร่วต้าตุ คาร์บอน ออกซิเจน ไซเดียม แมgnieiyim อะลูมิเนียม ซิลิกอน โพแทสเซียม และแคลเซียม เป็นองค์ประกอบหลักที่พบ โดยเฉพาะอะลูมิเนียม และโพแทสเซียมจะมีความเข้มที่สูงเมื่อเทียบกับธาตุอื่นที่พบ จึงแสดงให้เห็นว่าธาตุทั้งสองเป็นองค์ประกอบหลักส่วนธาตุอื่น ๆ ก็ยังคงพบในผู้นับลงแต่อาจพบในปริมาณที่น้อยกว่า และสำหรับจุดเก็บตัวอย่าง ST-3 ผู้นับลง ประกอบด้วย คาร์บอน ออกซิเจน อะลูมิเนียม ซิลิกอน ฟอสฟอรัส ซัลเฟอร์ คลอร์ไรด์ โพแทสเซียม แคลเซียม และเหล็ก (ภาพที่ 7)



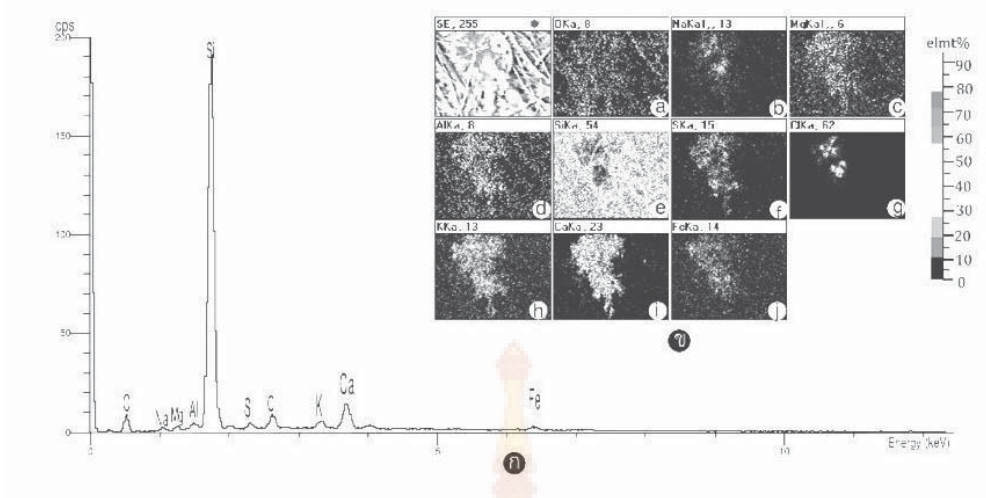
ภาพที่ 4 ก) ลักษณะพื้นผิวของกระดาษกรองไยแก้ว ข) ภาพถ่ายของพื้นผิวของกระดาษกรองไยแก้วด้วย SEM ที่กำลังขยาย 2000 เท่า ค) และ ง) ภาพถ่ายผู้สูบบุหรี่ของบนกระดาษกรองที่เก็บได้ด้วยเครื่อง SEM กำลังขยาย 2,000 เท่า และ 15,000 เท่า ตามลำดับ

ตารางที่ 2 แสดงองค์ประกอบของธาตุในฝุ่นละอองที่จัดเก็บได้จากจุดเก็บตัวอย่าง

จุดเก็บ ตัวอย่าง	วัน เดือน ปี (2555)	ปริมาณฝุ่น ละออง (ไมโครกรัม ต่อลูกบาศก์ เมตร)	องค์ประกอบของธาตุในฝุ่นละอองที่เก็บได้												
			C	O	Na	Al	Si	Ca	Mg	S	Cl	P	K	Fe	Ti
ST-1	2 กรกฎาคม	33.44	●	●	●	●	●	●							
	6 สิงหาคม	38.58	●	●	●	●	●	●		●	●				
	3 กันยายน	25.72	●	●		●	●	●		●					
	1 ตุลาคม	41.15		●	●	●	●	●	●	●	●	●	●	●	
	1 พฤศจิกายน	12.86	●	●	●	●	●	●				●			
ST-2	4 กรกฎาคม	30.86	●	●		●	●	●		●	●		●		

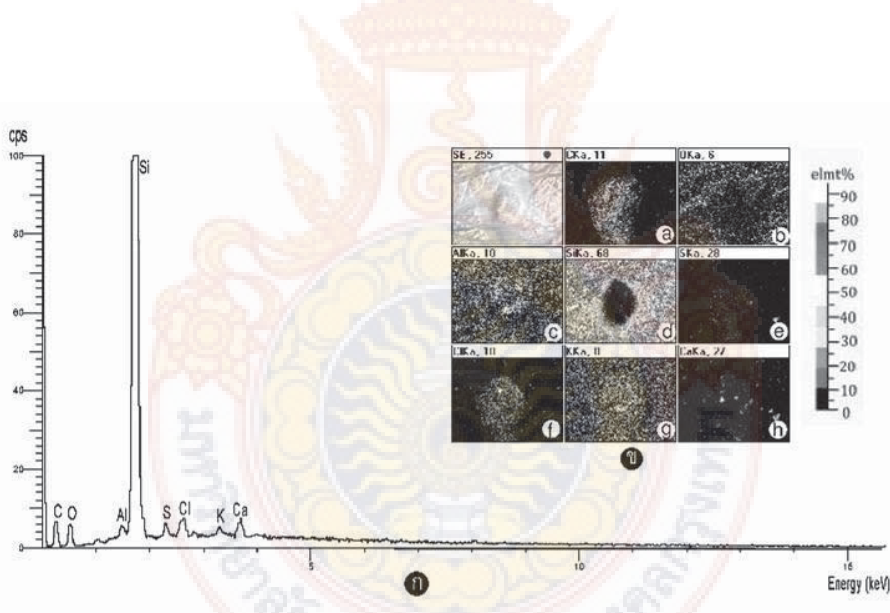
จุดเก็บ ตัวอย่าง	วัน เดือน ปี (2555)	ปริมาณฝุ่น ละออง (ไมโครกรัม ต่อลูกบาศก์ เมตร)	องค์ประกอบของธาตุในฝุ่นละอองที่เก็บได้												
			C	O	Na	Al	Si	Ca	Mg	S	Cl	P	K	Fe	Ti
	8 สิงหาคม	36.01	●	●	●	●	●	●	●	●	●				
	5 กันยายน	18.00	●	●		●	●	●	●	●	●	●	●		
	3 ตุลาคม	28.29	●	●	●	●	●	●	●	●			●		
	6 พฤศจิกายน	41.15	●	●		●	●	●		●	●				
ST-3	7 กรกฎาคม	74.59		●				●	●			●			
	11 สิงหาคม	105.45	●	●	●	●	●	●	●	●					
	8 กันยายน	30.86	●	●	●	●	●	●	●	●					
	13 ตุลาคม	41.15	●	●		●	●	●		●	●	●	●	●	●
	10 พฤศจิกายน	36.01	●	●		●	●	●	●	●	●				
ST-4	24 กรกฎาคม	90.02	●	●	●	●	●	●	●						
	21 สิงหาคม	102.88	●	●	●	●	●	●	●	●	●	●			
	26 กันยายน	69.44	●	●	●	●	●	●	●	●	●	●			
	25 ตุลาคม	7.72	●	●	●	●	●		●						
	21 พฤศจิกายน	108.02	●	●	●	●	●	●		●	●				
ST-5	26 กรกฎาคม	100.31	●	●	●	●	●	●	●						
	30 สิงหาคม	92.59	●	●	●		●	●		●					
	27 กันยายน	100.31	●	●	●		●	●	●		●		●	●	
	30 ตุลาคม	82.30		●		●	●	●							
	29 พฤศจิกายน	97.74		●		●	●	●			●		●		

หมายเหตุ พบ / ไม่พบ



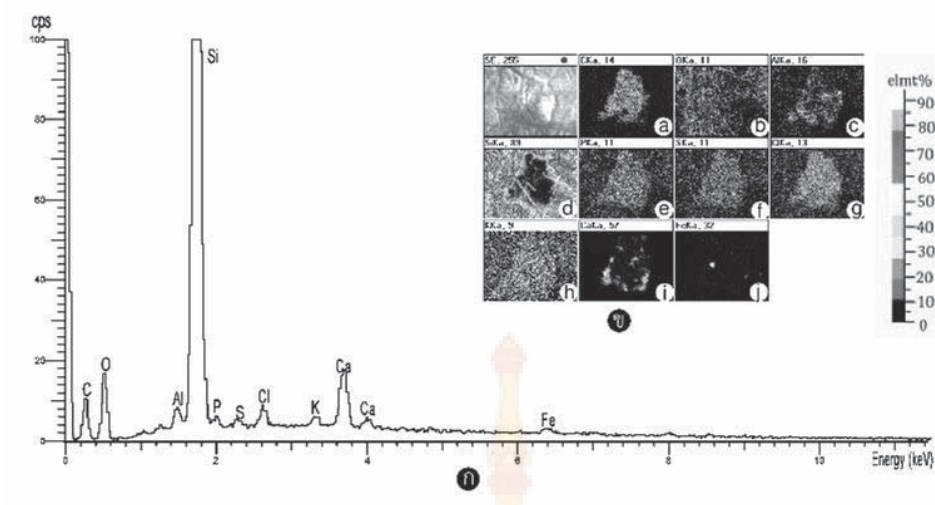
ภาพที่ 5 องค์ประกอบของธาตุของจุดเก็บตัวอย่าง ST-1

- (ก) สเปกตรัมของธาตุในตัวอย่างผุ่นละอองที่ตรวจเก็บได้
- (ข) แผนภาพการกระจายตัวของธาตุ



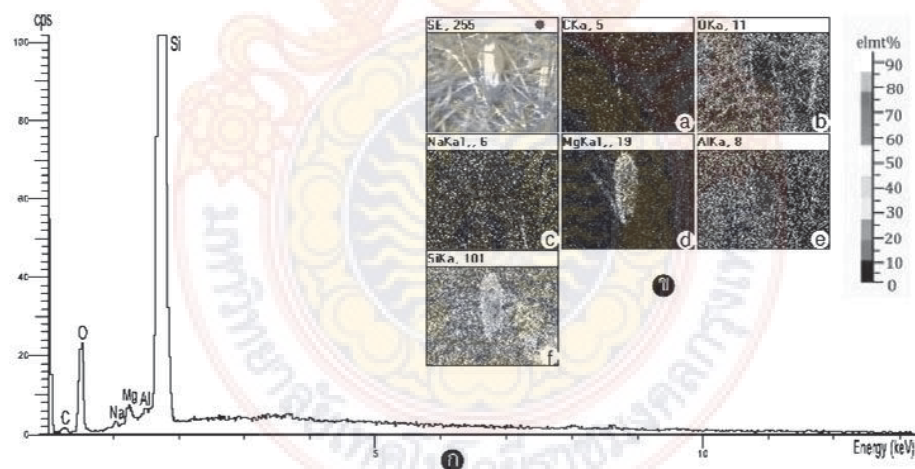
ภาพที่ 6 องค์ประกอบของธาตุของจุดเก็บตัวอย่าง ST-2

- (ก) สเปกตรัมของธาตุในตัวอย่างผุ่นละอองที่ตรวจเก็บได้
- (ข) แผนภาพการกระจายตัวของธาตุ



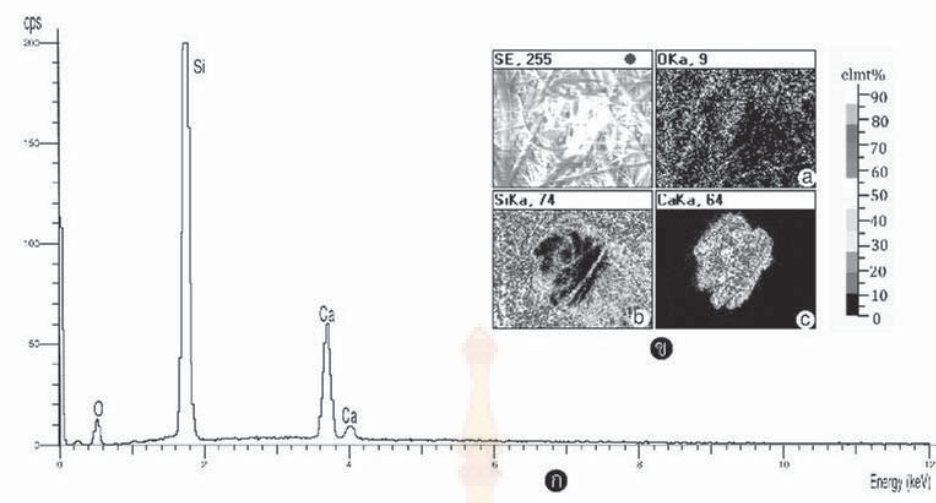
ภาพที่ 7 องค์ประกอบของธาตุของจุดเก็บตัวอย่าง ST-3

- Ⓐ สเปกตรัมของธาตุในตัวอย่างผุนละอองที่ตรวจเก็บได้
- Ⓑ แผนภาพการกระจายตัวของธาตุ



ภาพที่ 8 องค์ประกอบของธาตุของจุดเก็บตัวอย่าง ST-4

- Ⓐ สเปกตรัมของธาตุในตัวอย่างผุนละอองที่ตรวจเก็บได้
- Ⓑ แผนภาพการกระจายตัวของธาตุ



ภาพที่ 9 องค์ประกอบของธาตุของจุดเก็บตัวอย่าง ST-5

- (ก) สเปกตรัมของธาตุในตัวอย่างผุ่นละอองที่ตรวจเก็บได้
- (ก) แผนภาพการกระจายตัวของธาตุ

และในจุดเก็บตัวอย่าง ST-4 พบร่วมมีธาตุที่เป็นองค์ประกอบในผุ่นละอองประกอบด้วยคาร์บอน (ภาพที่ 8 ข a) มีปริมาณความเข้มการกระจายตัวอย่างหลวงๆ ในปริมาณความเข้มร้อยละ 10–20 บริเวณที่เป็นขอบเขตของเม็ดผุ่นละอองที่ทำการวิเคราะห์ออกซิเจน (ภาพที่ 8 ข b) มีการกระจายตัวในปริมาณร้อยละ 10 โซเดียม (ภาพที่ 8 ข c) มีการกระจายตัวในความเข้มร้อยละ 10 เช่นเดียวกันขณะที่แมgnีเซียม (ภาพที่ 8 ข d) มีความเข้มสูงตั้งแต่ร้อยละ 20–70 โดยเฉพาะที่ระดับความเข้มสูงที่ร้อยละ 70 กระจายตัวบริเวณขอบเขตของเม็ดผุ่นละออง ซึ่งแสดงให้เห็นอย่างชัดเจนว่าแมgnีเซียมเป็นองค์ประกอบของเม็ดผุ่นละออง นอกจากนี้แล้วผุ่นละอองยังประกอบด้วย อะลูมิเนียม (ภาพที่ 8 ข e) และซิลิกอน (ภาพที่ 8 ข f) ซึ่งกระจายตัวที่ความเข้มร้อยละ 10 และ 40 ตามลำดับ สำหรับจุดเก็บที่ ST-5 ประกอบด้วยธาตุออกซิเจน ซิลิกอน และแคลเซียม แต่พบว่าระดับความเข้มของแคลเซียมสูง (ภาพที่ 9 ข c) ซึ่งเป็นองค์ประกอบหลักของเม็ดผุ่นละอองที่เก็บได้ ณ จุดนี้

จากตัวอย่างผุ่นละออง 25 ตัวอย่างประกอบด้วยธาตุซิลิกอน (Si) และออกซิเจน (O) ซึ่งเป็นอนุภาคของซิลิกอนไดออกไซด์ (SiO_2) ที่เกิดจากผุ่นละอองของดินทรายบนท้องถนน และธาตุแคลเซียม (Ca) โซเดียม (Na) และ คลอไรด์ (Cl) เป็นผุ่นละอองที่เกิดจากไอน้ำทะเลเนื่องจากถนนทะเลหลวงอยู่ติดชายฝั่งทะเลบริเวณหาดคลาทศน์ อำเภอเมือง และเป็นสมือนช่องทางการเคลื่อนที่ของลมทะเลเข้ามายังถนนทะเลหลวงโดยตรง ทำให้ธาตุดังกล่าวเป็นองค์ประกอบของผุ่นละอองจากไออกไซด [14] ส่วนโพแทสเซียม (K) เหล็ก (Fe) แมgnีส (Mn) และติตาเนียม (Ti) โดยผุ่นละอองที่ตรวจพบนั้นเกิดจากยานพาหนะที่สัญจรผ่านถนนที่มีความหน่วงเวลาที่เก็บตัวอย่างโดยเฉพาะในช่วงเวลาที่มีการจราจรหนาแน่น [14] ซึ่งแต่ละตัวอย่างผุ่นละอองที่เก็บได้จะมีชนิดของธาตุที่พบเป็นธาตุชนิดเดียวกันเป็นส่วนใหญ่ แต่ในบางจุดที่เก็บตัวอย่างจะพบว่ามีธาตุที่แตกต่างกันไป เมื่อเปรียบเทียบลักษณะสิ่งแวดล้อมของจุดที่ 1 (ST-1, 1 ตุลาคม 2555)

จุดที่ 3 (ST-3, 13 ตุลาคม 2555) และจุดที่ 5 (ST-5, 27 กันยายน 2555) มีรถขนาดใหญ่และผ่านบางช่วงที่เก็บตัวอย่าง โดยเฉพาะจุดที่ 3 กับ จุดที่ 5 จะมีการก่อสร้างใกล้กับจุดเก็บตั้งนั้นกิจกรรมที่เกิดจากการก่อสร้าง การขนส่งพื้นที่รายด้วยรถขนาดใหญ่อาจทำให้เกิดฝุ่นละอองขนาดเล็กที่มีส่วนประกอบของเหล็ก หรือ แมงกานีส นอกจากกิจกรรมดังกล่าวแล้ว เหล็กและแมงกานีซึ่งเกิดจากการเผาไหม้ของเชื้อเพลิงของรถ [10,15] หรือเบรคของรถที่มีส่วนผสมของผงเหล็กและแมงกานีเซียมออกไซด์ฟู๊ก กระจายอยู่ในอากาศจึงทำให้ตรวจพบโลหะชนิดในฝุ่นละออง เช่นเดียวกับประเทศไทยอื่นๆที่พบ

จากการวิเคราะห์องค์ประกอบของฝุ่นละอองที่ตรวจพบมีทั้งที่เกิดขึ้นตามธรรมชาติ [15] พ ragazzi ไอಥเล และที่เกิดจากยานพาหนะ [10,12,14] อันเนื่องจากการสัญจรของรถยนต์และการเผาไหม้จากเชื้อเพลิงอันได้แก่น้ำมันเบนซิน น้ำมันดีเซล และสารอื่น เช่น สารหนู ทองแดง เหล็ก นิกเกิล แมงกานีส เป็นต้น อย่างไรก็ตามปริมาณของฝุ่นละอองที่ตรวจพบมีค่าอยู่ระหว่าง 7.72-108.02 ไมโครกรัมต่อลูกบาศก์เมตร ซึ่งปริมาณดังกล่าวต่ำกว่าเกณฑ์มาตรฐาน (120 ไมโครกรัมต่อลูกบาศก์เมตร) จึงยังไม่ส่งผลเป็นอันตรายต่อสุขภาพ

4. สรุปผลการวิจัย

ผลการวิจัยบ่งชี้ให้ว่าบนท้องถนนที่มีกิจกรรมต่างๆ เช่น บนทางเท้า การมีตลาดริมทาง หรือการสัญจรของยานพาหนะต่างๆ ตลอดจนทะลุทางทั้งหมดนี้ล้วนแต่เป็นแหล่งกำเนิดของฝุ่นละออง โดยเฉพาะอย่างยิ่งฝุ่นละอองที่เป็นโลหะนั้นมีอยู่ทั่วไป ซึ่งการตรวจวัดองค์ประกอบของฝุ่นด้วยเทคนิคนี้ทำให้ทราบถึง

ชนิดของธาตุ โดยเฉพาะที่เป็นสารโลหะหนักหากได้รับเข้าสู่ร่างกายผ่านระบบทางเดินหายใจ อาจมีผลกระทบต่อสุขภาพในอนาคตได้ถ้าได้รับสะสมเป็นเวลานาน

5. กิติกรรมประกาศ

งานวิจัยฉบับนี้สำเร็จได้ด้วยดีจากการได้รับทุนสนับสนุนงานวิจัย จากสำนักงานบริหารโครงการส่งเสริมการวิจัยในอุดมศึกษาและพัฒนามหาวิทยาลัยวิจัยแห่งชาติ สำนักงานคณะกรรมการการอุดมศึกษา และคณะศิลปศาสตร์ มหาวิทยาลัยเทคโนโลยีราชมงคลศรีวิชัย ที่สนับสนุนอุปกรณ์เครื่องมือตลอดจนห้องปฏิบัติการที่เอื้อต่อการทำการวิจัยในครั้งนี้

6. เอกสารอ้างอิง

- [1] Dockery DW. and Pope CA. Acute respiratory effect of particulate air-pollution. *Annu. Rev. Aerosol. Sci.* 1994; 29:421–444.
- [2] Hong YC., Lee JT., Kim H., et al. Effect of air pollution on acute stroke mortality. *Environ. Health. Pers.* 2002; 110:187–191.
- [3] Huang L., Yaun CS., Wang G., Wang K. Chemical characteristics and source apportionment of PM₁₀ during a brown haze episode in Harbin, China. *Particul.* 2002; 9:32–38.
- [4] สร้าง แสงธิรัญวัฒนา, นันทวิทย์ บุญเทศ, ภูวนิ วงศ์วิวัฒน์. ความเสื่อมสมรรถภาพของปอดในตัวราชจราจรในกรุงเทพมหานคร. *รามาธิบดีเวชสาร.* 2538; 18:44-46.

- | | |
|--|---|
| <p>[5] Yakin S., Bayran A. Source apportionment of PM₁₀ and PM_{2.5} using positive matrix factorization and chemical mass balance Izmir, Turkey. <i>Sci. Total Environ.</i> 2008; 309:109–123.</p> <p>[6] Cheng YH., Chang HP., Hsieh CJ. Short – term exposure to PM₁₀ , PM_{2.5} ultrafine particle and CO₂ for passenger at an intercity bus terminal. <i>Atmos. Environ.</i> 2011; 45:2034-2042.</p> <p>[7] Charlesworth S., De Miguel E., Ordóñez A. A review of the distribution of particulate trace element in urban terrestrial environments and its application to consideration of risk. <i>Environ. Geochem. Health.</i> 2011; 33(2):103-123.</p> <p>[8] De Miguel E., Iribarren I., Chacón E., et al. S. Risk-based evaluation of exposure of children to trace element in playgrounds in Madrid (Spain). <i>Chemos.</i> 2007; 66:505-513.</p> <p>[9] Ferguson JE., Kim N. Trace element in street and house dusts source and speciation. <i>Sci. Total Environ.</i> 1991; 100:125-150.</p> <p>[10] Moreno T., Karanasiou A., Amato F., et al. Daily and hourly sourcing of metallic and mineral dust in urban air contaminated</p> | <p>by traffic and coal-burning emission. <i>Atmos. Environ.</i> 2013; 68:33-44.</p> <p>[11] Li X., Liu PS. Heavy metal contamination of urban soil in street dusts in Hong Kong. <i>Appl. Geochem</i> 2001; 16:1361-1368.</p> <p>[12] Okorie A., Entwistle J., Dean JR. Estimation of daily intake of potentially toxic element from urban street dust and the role of oral bioaccessibility testing. <i>Chemos.</i> 2012; 86:460-467.</p> <p>[13] ส่วนควบคุมคุณภาพอากาศ สำนักงานการจัดการคุณภาพอากาศและเสียง กรมควบคุมมลพิษ กระทรวงทรัพยากรธรรมชาติและสิ่งแวดล้อม. คู่มือการตรวจวัดฝุ่นละอองในบรรยากาศ, 2546.</p> <p>[14] Sehyun H., Jong-Sang Y., Yong-Won J. Characterization of PM₁₀ and PM_{2.5} source profiles for resuspended road dust collected using mobile sampling methodology. <i>Atmos. Environ.</i> 2011; 45:3343-3351.</p> <p>[15] Srimuruganandam B., Shiva Nagendra, SM. Source characterization of PM₁₀ and PM_{2.5} mass using a chemical mass balance model at urban roadside. <i>Sci. Total Environ.</i> 2012; 433:8-19.</p> |
|--|---|